

# 利用谐波平衡法对 Buck 变换器中倍周期分岔的仿真研究

张金波, 李威, 张学武, 胡钢, 解大琴  
(河海大学 计算机及信息工程学院, 江苏 常州 213022)

**摘要:** 利用谐波平衡法对 Buck 变换器中的倍周期分岔进行了仿真研究, 首先给出了连续控制模式下电压控制型 Buck 变换器的动力学模型, 然后采用谐波平衡法进行分析, 获得了产生倍周期分岔的充要条件, 同时也得到了分岔的准确位置。基于这个分岔条件, 可以设计一个前馈控制来避免倍周期分岔的发生。此控制法有利于输入电压工作范围的大幅度扩大, 以及较好的输出电压校准。

**关键词:** 倍周期分岔; 谐波平衡法; 前馈控制

## Simulation Study of Period Doubling Bifurcation in Buck Converters Using Harmonic Balance

Zhang Jinbo, Li Wei, Zhang Xuewu, Hu Gang, Xie Daqin

(College of Computer & Information Engineering, Hehai University, Changzhou 213022, China)

**Abstract:** The period doubling bifurcation in buck converters is studied using the harmonic balance method. A dynamic model of a buck converter in continuous conduction mode under voltage mode control is derived. An exact harmonic balance analysis is used to obtain a necessary and sufficient condition for a period doubling bifurcation to occur and provide information on its exact location. Using the condition for bifurcation, a feedforward control is designed that eliminates a period doubling bifurcation. This results in a wider range of allowed source voltage, and also in improved output voltage regulation.

**Key words:** period doubling bifurcation; harmonic balance method; feedforward control

## 0 引言

近年来, 随着对功率电子系统中非线性行为研究的逐步深入, 研究人员发现开关式 DC-DC 变换器是一个强非线性时变动力学系统, 具有丰富的非线性行为分岔与混沌。工作在混沌状态的 DC-DC 变换器, 输出特性发生了明显的变化, 主要表现为变换器的输出纹波中高次谐波分量的增加, 峰峰值加大, 以及开关管上的尖峰脉冲幅值的大幅度增加现象。因此, 研究如何避免 DC-DC 变换器的倍周期分岔, 对于提高变换器的性能具有非常重要的指导意义。

## 1 理论基础<sup>[1-4]</sup>

### 1.1 电压控制型 Buck 变换器的模型

如图 1 所示, 由  $L$ 、 $C$ 、 $R$  组成了一个低通滤波器, 而且它的转移函数为:

$$G_1(s) = \frac{V_o(s)}{V_d(s)} = \frac{1}{LCs^2 + \frac{L}{R}s + 1} \quad (1)$$

收稿日期: 2003-08-18

作者简介: 张金波(1967-), 男, 黑龙江双城市人, 副教授, 硕士, 主要从事电力电子及微机控制方面的教学和科研工作。

© 1994-2013 China Academic Journal Electronic Publishing House. All rights reserved. <http://www.cnki.net>

对于误差放大器来说, 它是由  $v_r$  和  $v_o$  驱动的, 因此它的输出  $y(t)$  可表示为:

$$y(t) = g v_r + G_2 v_o \quad (2)$$

其中  $G_2$  主要取决于控制方案。

对于连续控制模式下电压控制型 Buck 变换器可由图 2 所示系统方框图模拟。

### 2.2 采用谐波平衡法确定倍周期分岔点

在周期-1 状态下, 开关时间  $t = d$  由下式决定:

$$y(d) = h(d) \quad (3)$$

当倍周期分岔发生时, 即在周期-2 状态下, 开关时间  $t = d -$  和  $T + d +$  由下式决定(其中  $\delta$  是一个微变参数, 它在分岔点处为 0):

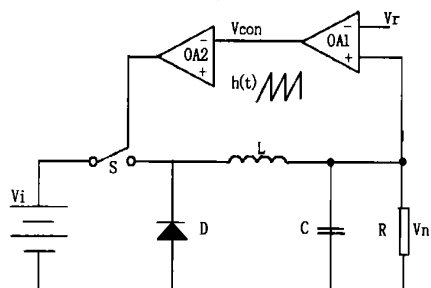


图 1 电压控制型 Buck 变换器

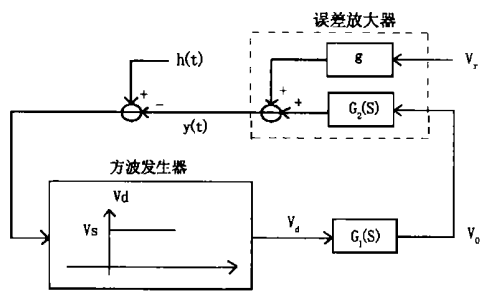


图 2 电压控制型 Buck 变换器方框图

$$y(d-) = h(d-) \quad (4)$$

$$y(T+ d+) = h(T+ d+) \quad (5)$$

在这里, 谐波平衡法用来分析非线性系统的周期解。在 Buck 变换器的稳定状态下,  $v_d(t)$  是一个周期信号并且可以用傅立叶序列来表示。通过平衡上述方程 (3)、(4)、(5) 就可以得到周期解存在的条件。然后通过调用周期-1 和周期-2 的解的存在条件, 就可以确定倍周期分岔点的准确位置。下面将  $v_s$  作为分岔参数, 其临界值记为  $v_{s*}$ 。

在周期-1 状态下,  $v_d(t)$  的傅立叶序列展开如下:

$$v_d(t) = \sum_{n=-\infty}^{\infty} c_n e^{j n w_s t}$$

$$\text{其中, } c_n = \frac{v_s}{j 2n} (e^{-j n w_s d} - e^{-j n w_s T}) \quad (6)$$

设占空比  $D_c = 1 - d/T$ , 则  $v_d(t)$  的平均值记为  $[v_d(t)]_{AVE}$ 。

$$[v_d(t)]_{AVE} = c_0 = (1 - d/T) v_s = D_c v_s \quad (7)$$

令  $G(s) = G_1(s) G_2(s)$ , 则误差放大器的输出为:

$$y(t) = g v_r + \sum_{n=-\infty}^{\infty} c_n e^{j n w_s t} G(j n w_s) = \\ g v_r + v_s \left[ (1 - \frac{d}{T}) G(0) + \left( \frac{1}{n} \right) \text{Im} \left[ \frac{e^{-j n w_s d} - 1}{n} e^{j n w_s t} G(j n w_s) \right] \right] \quad (8)$$

可以通过方程 (3) 和 (8) 解出  $v_s$ :

$$v_s = \frac{h(d) - g v_r}{\left( 1 - \frac{d}{T} \right) G(0) + \left( \frac{1}{n} \right) \text{Im} \left[ \frac{1 - e^{j n w_s d}}{n} G(j n w_s) \right]} \quad (9)$$

类似的, 在周期-2 状态下,  $y(t)$  可表示为:

$$y(t) = g v_r + \sum_{n=-\infty}^{\infty} c_n e^{\frac{j n w_s t}{2}} G \left[ \frac{j n w_s}{2} \right] \quad (10)$$

其中

$$c_n = \begin{cases} \left( \frac{v_s}{n} \right) e^{-\frac{j n w_s d}{2}} \sin \left( \frac{n w_s}{2} \right) & (n \text{ 为奇数}) \\ \left( \frac{v_s}{j n} \right) \left[ e^{-\frac{j n w_s d}{2}} \cos \left( \frac{n w_s}{2} \right) - e^{-\frac{j n w_s T}{2}} \right] & (n \text{ 为偶数}) \end{cases}$$

令三角波信号的最小值为  $v_l$ , 最大值为  $v_h$ , 则由方程 (4)、(5)、(10) 解得

$$v_s = (v_h - v_l) / T / \left[ \text{Re} \left[ \sum_{k=1}^{\infty} \left( \frac{1}{2k-1} G \left[ j \left( k - \frac{1}{2} \right) w_s \right] \sin \left( (2k-1) w_s \right) \right) + \frac{1}{2k} G(j k w_s) (\sin(2k w_s) - 2e^{j k w_s d} \sin(k w_s)) \right] \right] \quad (11)$$

当倍周期分岔发生时, 在分岔点处  $v_s = 0$ , 临界电压  $v_{s*}$  可表示为:

$$v_{s*} = \frac{(v_h - v_l)/2}{\text{Re} \left[ \sum_{k=1}^{\infty} G \left( j \left( k - \frac{1}{2} \right) w_s \right) + \left( 1 - e^{j k w_s d} \right) G(j k w_s) \right]} \quad (12)$$

将方程 (9) 和 (12) 在同一个坐标系中描绘, 则其交叉点即是临界值  $(v_{s*}, *, d*)$ , 这个点就是所要的倍周期分岔点, 如图 3 所示。

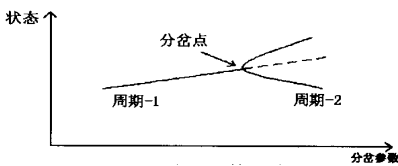


图 3 倍周期分岔原理图

通常情况下,  $G(j w)$  是低通的, 将方程 (12) 的分母可近似为  $-\text{Re}[G(j w_s/2)]$ , 于是便得到  $v_{s*}$  的近似值:

$$v_{s*} = \frac{(v_h - v_l)/2}{-\text{Re}[G(j w_s/2)]} \quad (13)$$

上式说明了系统参数可以影响倍周期分岔的, 也可以影响输入电压的工作范围, 可通过提高三角波信号的幅度  $(v_h - v_l)$  或提高开关频率来避免倍周期分岔。

### 2.3 Buck 变换器的前馈控制

一般情况下, 在 DC-DC 变换器中使用前馈控制是为了得到更快的瞬态响应。前馈控制是用来避免倍周期分岔的, 而且满足一定条件时, 还能提高输出电压的稳定值。令三角波信号的  $v_l = k w_s$ ,  $v_h = k h w_s$

(1) 倍周期分岔的避免  
 $d$  的函数的定义:

$$h(d) = 2 \text{Re} \left[ \sum_{k=1}^{\infty} G \left( j \left( k - \frac{1}{2} \right) w_s \right) + \left( 1 - e^{j k w_s d} \right) G(j k w_s) \right] \quad (14)$$

且  $h_{\max} = \max_{0 < d < T} h(d)$ ,  $h_{\min} = \min_{0 < d < T} h(d)$ , 那么方程(12)所示的分岔条件就可写成:

$$h(d) = k_h - k_l \quad (15)$$

因此, 如果在选取  $k_h$  和  $k_l$  的值时使得  $(k_h - k_l) > h_{\max}$  或  $(k_h - k_l) < h_{\min}$ , 那么就可以避开倍周期分岔。

### (2) 输出电压的稳定值的提高

首先, 假设开关频率足够高, 由于  $G(s)$  的低通特性, 使方程 (9) 可近似为

表 1 控制前后的 Buck 变换器的仿真实验结果

控制前			控制后					
仿真结果			理论值			仿真结果		
$v_s$	$v_o$ (幅值)	周期	$v_s$	$k_h$	$k_l$	$v_s$	$v_o$ (幅值)	周期
17V	11.86~11.91V	周期-1	17V	-0.2059	0.5761	17.9V	11.4~11.46V	周期-1
18V	11.87~11.93V	周期-1	18V	-0.1944	0.5876	18.3V	11.46~11.52V	周期-1
19V	11.89~11.95V	周期-1	19V	-0.184	0.598	18.5V	11.5~11.56V	周期-1
20V	11.91~11.98V	周期-1	20V	-0.175	0.607	20.2V	11.62~11.69V	周期-1
21V	11.91~11.98V	周期-1	21V	-0.167	0.615	20.8V	11.68~11.76V	周期-1
22V	11.94~12.03V	周期-1	22V	-0.159	0.623	22V	11.78~11.86V	周期-1
23V	11.96~12.05V	周期-1	23V	-0.1522	0.6298	23.3V	11.88~11.98V	周期-1
24V	混沌波形		24V	-0.1458	0.6362	24V	11.96~12.06V	周期-1
25V	11.95~12.13V	周期-2	25V	-0.14	0.68	25V	12.09~12.22V	周期-1
26V	11.91~12.91V	周期-2	26V	-0.1346	0.6474	26V	12.14~12.24V	周期-1
27V	11.88~12.22V	周期-2	27V	-0.1296	0.6524	26.9V	12.21~12.32V	周期-1
28V	混沌波形		28V	-0.125	0.657	28.2V	12.32~12.42V	周期-1
29V	11.85~12.28V	周期-2	29V	-0.1207	0.6613	29.2V	12.41~12.52V	周期-1
30V	11.78~12.38V	周期-6	30V	-0.117	0.665	30V	12.48~12.6V	周期-1
31V	混沌波形		31V	-0.113	0.66	30.6V	12.54~12.68V	周期-1
32V	混沌波形		32V	-0.1094	0.6726	30.8V	12.6~12.74V	周期-1
33V	混沌波形		33V	-0.106	0.676	31.1V	12.66~12.8V	周期-1

$$v_s = \frac{v_l + (v_h - v_l) d / T - g v_r}{(1 - d / T) G(0)} \quad (16)$$

$$\text{然后求解出 } \frac{d}{T} \text{ 得: } \frac{d}{T} = \frac{G(0)}{G(0) v_s - v_l + v_h} \quad (17)$$

将输出电压的平均值记为  $[v_o]_{AVE}$ , 则得到:

$$[v_o]_{AVE} = [v_d]_{AVE} G_1(0) = (1 - d / T) v_s G_1(0) = \begin{cases} \frac{v_h - g v_r}{G(0) v_s - v_l + v_h} v_s G_1(0) \\ \frac{k_h v_s - g v_r}{G(0) - k_l + k_h} G_1(0) \end{cases} \quad (18)$$

因此, 根据 (18), 在固定了一部分参数之后, 增加一个前馈控制环节来调整三角波信号的  $v_l$ , 就可以实现输出电压的稳定值的提高。

综上所述, 由式 (18) 调整的  $v_l$ , 又同时满足  $(k_h - k_l) > h_{max}$  或  $(k_h - k_l) < h_{min}$ , 那么增加的前馈控制环节不仅可以避免倍周期分岔, 还能实现输出电压的稳定值的提高。

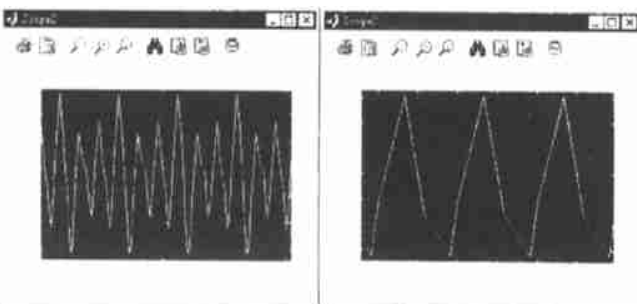


图 4 控制前输出电压  $v_o$   
( $v_s = 30 V$ )

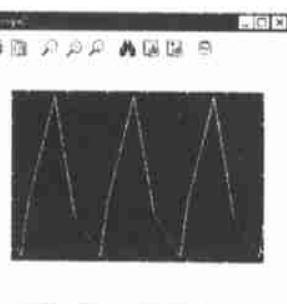


图 5 控制后输出电压  $v_o$   
( $v_s = 30 V$ )

### 3 仿真实验<sup>[5]</sup>

如图 1 所示电路, 系统参数如下:  $T = 400 \text{ s}$ ,  $L = 20 \text{ mH}$ ,  $C = 47 \text{ F}$ ,  $R = 22 \Omega$ , 三角波信号  $h(t) = 3.8 + 4.4 \lfloor \frac{t}{T} \bmod 1 \rfloor$ , 误差放大器输出信号  $y = 8.4 (v_o - 11.3)$ 。令输入电压  $v_s$  为分岔参数, 对上述电路用 MATLAB 中的 Simulink 进行仿真。

在上述的仿真中增加一个前馈控制, 根据方程 (18), 令  $v_h = k_h v_s = -3.5 \text{ V}$ ,  $[v_o]_{AVE} = 12 \text{ V}$ , 那么  $k_h - k_l = -0.782$ 。由于,  $h_{max} = 0.358$ ,  $h_{min} = 0.1792$ , 即满足  $(k_h - k_l) < h_{min}$ 。所以, 前馈控制为:  $v_l = 0.782 v_s - 3.5$ 。根据此方案进行仿真实验, 使  $v_s$  从 17 V 增至 33 V, 步长为 1 V, 实验结果如表 1 所示。

从表 1 中可以看出, 输入电压  $v_s$  的工作范围已扩大到 18~31 V, 而且输出电压  $v_o$  稳定在 12 V (5%) 范围。以  $v_s = 30 \text{ V}$  为例, 控制前后效果对比图如图 4 和图 5 所示。

从图 4 和图 5 中可以看出, 对于  $v_s = 30 \text{ V}$ , 控制前输出电压  $v_o$  的波形为周期-6, 但在控制后输出电压  $v_o$  的波形被稳定在周期-1 上。

### 4 结束语

文章采用谐波平衡法对连续控制模式下电压控制型 Buck 变换器进行了详细的分析, 得出了发生倍周期分岔的条件。基于这个条件, 提出了前馈控制方案, 来调整三角波信号的幅度, (下转第 565 页)

处理, 即取平均检验统计量最小者为最终关联对, 其计算公式为:

$$ij^*(R) = \min_{j^*} \frac{1}{R} \sum_{l=1}^R j^*(l=R); \quad j^* \in \{j^*_1, j^*_2, \dots, j^*_q\} \quad (7)$$

### 3 仿真分析

不失一般性, 我们只对  $X$  方向进行分析。假设两雷达同步采样且扫描周期相同, 送到融合中心的航迹数据已经进行时间和空间对准, 并采用标准 Kalman 进行滤波。假设有 60 批目标在公共观测区, 采用 CV 模型, 初始位置与初始速度分别在  $-20 \sim 20 \text{ km}$  和  $-0.16 \text{ km/s} \sim 0.16 \text{ km/s}$  之间均匀分布, 雷达扫描周期  $T = 10 \text{ s}$ , 两雷达的过程噪声  $a_x^i(k)$  和测量噪声  $v_x^i(k)$  都服从从高斯分布, 且相互独立 ( $i = 1, 2$ )。其中, 雷达 1 和雷达 2 的过程噪声标准差均为  $0.2 \text{ km}$ , 雷达 1 的观测噪声标准差为  $0.4 \text{ km}$ , 雷达 2 的观测噪声标准差为  $0.6 \text{ km}$ , 状态转移矩阵  $= \begin{bmatrix} 1 & 10 \\ 0 & 1 \end{bmatrix}$ , 初始滤波误差协方差为  $P(0/0) = \begin{bmatrix} 10 & 0 \\ 0 & 10 \end{bmatrix}$ 。采用蒙特卡洛方法进行仿真, 仿真次数 50 次, 显著水平取 0.05。

仿真结果如图 2、3 所示, 可以看出经小波变换处理后双门限法正确关联率在  $0.65 \sim 0.95$  之间, 错误关联率在  $0.04 \sim 0.17$  之间; 而加权法的正确关联率仅在  $0.5 \sim 0.8$  之间, 错误关联率在  $0.12 \sim 0.23$  之间。由此结果可以得出在密集目标环境下, 就关联性能而言, 经

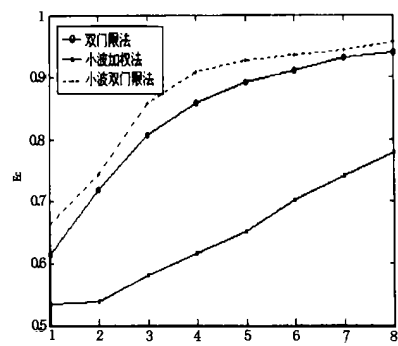


图 2 正确关联曲线

(上接第 552 页)

从而稳定了 Buck 变换器, 实现了输入电压工作范围的扩大和输出电压保持良好的恒定。

### 参考文献:

- [1] Fang C C. Sampled-data analysis and control of DC-DC switching converters [D]. Ph D thesis, University of Maryland, College Park, 1997
- [2] Tesi A, Abed E H, Genesio R, et al. Harmonic balance analysis of period-doubling bifurcations with implications for control of

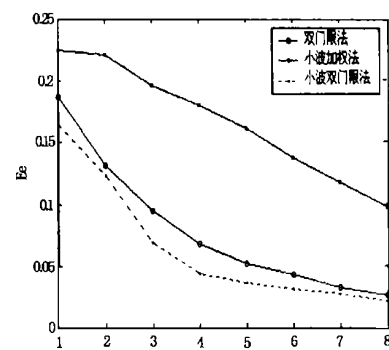


图 3 错误关联曲线

小波变换处理的双门限法比小波加权法有了显著性改善, 同时它比普通的双门限关联法也有所提高, 由此可以说明此方法的有效性。

### 4 结论

文章利用小波的多分辨率特性, 结合适于在多目标环境下进行关联的双门限关联算法, 提出一种基于小波的双门限航迹关联算法, 并通过仿真证明该算法是有效的。在文章中并没有考虑航迹关联质量与航迹脱离质量<sup>[5]</sup>对算法复杂度的影响, 如果加入关联质量因子, 则将大大减小算法的复杂度, 这些都是今后所要考虑的。

### 参考文献:

- [1] Roederer J A, McGillem C D. Comparison of two-sensor methods based on state vector fusion and measurement fusion [J]. IEEE Trans On AES, 1988, 24 (4): 447-449
- [2] Wilson J F. A fuzzy logic multisensors association algorithm [J]. SPIE 1997, 3068: 76-87
- [3] 杨福生. 小波变换的工程分析与应用 [M]. 北京: 科学出版社, 2000
- [4] 覃作鹏, 徐毓. 一种利用小波变换进行航迹关联的方法 [J]. 雷达与对抗, 2003, 1: 5-7
- [5] 何友, 王国宏. 多传感器信息融合及应用 [M]. 北京: 电子工业出版社, 2000
- [6] 胡昌华, 张军波. 基于 MATLAB 的系统分析与设计——小波分析 [M]. 西安: 西安电子科技大学出版社, 2000.

nonlinear dynamics [J]. Automatica, 1996, 32(9): 1255-1271

- [3] Genesio R, Tesi A. Harmonic balance methods for the analysis of chaotic dynamics in nonlinear systems [J]. Automatica, 1992, 28(3): 531-548
- [4] Piccardi C. Bifurcations of limit cycles in periodically forced nonlinear systems: the harmonic balance approach [J]. IEEE Transactions on Circuits and Systems-I: Fundamental Theory and Applications, 1994, 41(4): 315-320
- [5] 罗建军, 杨琦. 精讲多练 MATLAB [M]. 西安: 西安交通大学出版社, 2002.